

目 次

成長曲線	檀原毅	163
海外論文紹介		
分光測光法による皆既日食の接觸時刻の決定	廣瀬秀雄	167
準矮星の銀河系内における運動	北村正利	169
アメリカ便り Ⅲ	藤田良雄	171
Guiding Telescope—バーセク・スペクトロヘリオグラフ		172
雑報		173
流星観測用スーパーシュミットカメラ		
シベリア沿海州に落下した隕石		
惑星大気の水素分子のスペクトル		
表面で爆発する星		
會員諸氏の太陽黒點観測		175
11月の天象		176
表紙寫眞—0.3秒毎のフラッシュ・スペクトルの寫眞(Lindblad撮影)		
右下のものは2秒後のもの、白い縦のマークは振子時計によるタイムマーク		

(海外論文紹介参照)

本会記事

本会 Publication 発行のおしらせ

Vol. 3, No. 1 が近く発行されます。掲載論文は次のようです。

The Lengthening of the Period of the Free Nutation due to the Inequality of three Principal Axes of the Earth. C. Sugawa.

Wind Effect on the Latitude Observations. T. Hattori.

On the Anomalous Excitation of the Chromospheric Hydrogen Spectrum. S. Miyamoto.

Effects of the Short-Periodic Oceanic Tides on the Rotation of the Earth. N. Sekiguchi.

Photoelectric Transit Instrument. T. Dambara.

On the Radiation Field of the Extended Stellar Atmospheres. J. Jugaku.

Effect of the Inaccuracy of the Current Besselian Method of the Apparent Place Estimation of Fixed Stars. K. Suzuki.
NOTE

The Solar Noise From the Coronal Prominences. S. Miyamoto.

天文學普及講座

11月17日(土)午後1時半より國立科學博物館にて、本會及び國立科學博物館共同主催。聴講無料。

天文ニュース解説 東京天文臺 高瀬文志郎氏
變光星の觀測法 東京天文臺 下保茂氏

地方通信

(水澤緯度観測所)

緯度観測の中央局(イタリーのトリノ天文臺)とも連絡がとれ、毎月観測帳を送っています。トリノ、カボディモンテ天文臺からもチェツキニー、ニッコリーニ等の緯度変化研究者からの論文が續々と送られてきています。

初代所長故木村榮博士の胸像設置の話が水澤町民の御配慮で具體化し、在町の彫刻家丸山氏に依つて目下制作が進められ今秋には完成の豫定です。先日一應粘土の素像ができ上つて先生に生前親しく教を受けた所員に供覧されて色々と注文が出ました。先生の温顔目のあたりに再現されて、緯度観測所の將來を見守つて下さることになりました。

(東京天文臺)

保時と報時關係の廳舎が増築されることになり、その工事は目下進行中です。

元東京天文臺技師、橋元昌矣氏の古稀を祝つて、9月12日に談話會が開かれ、20時望遠鏡など東京天文臺の設備に盡力された當時の同氏の懐舊談を拜聴しました。

(京大宇宙物理學教室)

鈴木義正講師は9月より京都學藝大學學藝學部に助教授として轉出されました。

昭和26年10月20日 印刷 発行

定價金 30圓(送郵 3圓)

編輯兼發行人 東京都三鷹市東京天文台内
印 刷 所 東京都港區芝南佐久間町一ノ五三
發 行 所 東京都三鷹市東京天文台内

廣瀬秀雄
笠井出版印刷社
社團法人 日本天文學會
振替口座 東京 13595

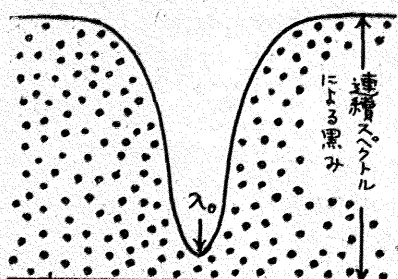
成長曲線

檀 原 稔

§ 1. 吸收線の自然幅

成長曲線 (Curve of Growth) は吸收線が星の大氣で、どのような要素や状態に支配されて成長しているかを示す曲線である。星の表面に光が達するまでに吸収される量、即ち吸收線の強度は、原子の量や大氣の状態更に大氣中に於ける通り抜けの仕方等によつて、成長の具合が異なるであろう。吸收線そのものの成長を支配する要素としては、量子力学的に計算される遷移確率、でたらめな熱運動によるドップラー効果、他粒子との衝突による効果、電場が強い場合のシャタリク効果、更に巨視的な乱流運動等が考えられる。そのような作用を理解しておかないと、成長曲線の解釋は困難である。

先ず簡単な実験装置を考えてみよう。中央に真空のガラス管をおき、その一端に明るい連續スペクトルを出す光源、他の端に分光器を設けてスペクトルを作り、更にそれを撮影するカメラを装置する。ガラス管の中に小量の水素氣體を入れて寫真を撮ると、所々に透明な線のある連續スペクトルの帶が見られる。この透明な吸收線の波長は夫々原子に固有な値である。その際もしも厳密にその波長に於てのみ吸収が行われるならば、吸收線は文字通り截然とした線(スリットの像)となるであろう。ところがプレートを調べてみると決してそうはなつておらず、現像の黒みは連續光に相當する一定の値から次第に薄れ、正規の波長の所で最も透明になり、それから再び對稱的に黒みが勝ち始め一定の値に戻っている。黒みはプレートに當る光の量に応じて増減する筈であるから、このような黒みの変化

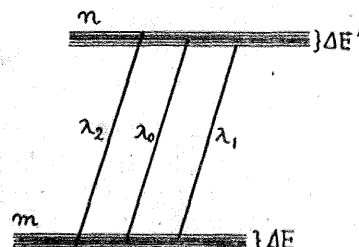


第 1 圖

は結局光の強さの分布状態を示すものに外ならない。(第1圖参照)。

何故このように吸收線に幅が出来るのである。極

端な場合として原子を全く静止状態におき得たと假定してみよう。然しそれでも専門家、特定波長を中心に狭い範囲内の光を吸収して幅が出来る。これを吸收線の自然幅と呼ぶが、それは有名な量子論の不確定性原理から当然の歸結である。即ち或る波長に相當してエネルギーが遷移する二つの状態の各々が、無限に正確なエネルギーを表わすような確定した一つの状態ではなく、その状態の存在する“範囲”が一定であるに過ぎない。第2圖で波長 λ_0 に相當して二つのエネルギーの定常状態 m, n を考えると、 m, n は夫々 $\Delta E, \Delta E'$ の不確定さをもつ。だから λ_0 より大きな波長 λ_1 、小さな

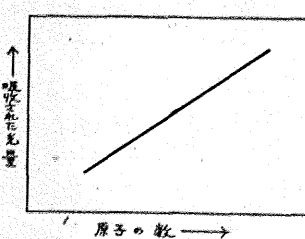


第 2 圖

波長 λ_2 も吸収出来る。どの遷移がどの位多いかという確率を示すものが吸收線の形である。

§ 2. 成長曲線の作り方

前の実験に戻つて、ガラス管の水素原子の量を増してやれば、吸収線の幅も透明度も増加する。即ち吸収作用のある原子が多くなる程吸収線は発達する。一寸考えると水素の量を二倍にすれば吸収も正確に二倍になり、従つて吸収される光の量を横軸に、水素氣體の量を縦軸にとつて、多くの実験結果をプロットすれば直線になりそうである(第3圖)。ところが實際

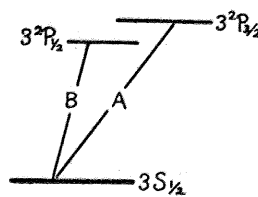


第 3 圖

我々が星のスペクトル線から得るこのような圖表、即ち成長曲線は決して直線にはなつていい。その理由を尋ねる前に、星の世界へ出かけて

いつて原子の量を勝手に二倍にしたり、三倍にしたりすることは不可能であるから、もつと別な方法で成長曲線を作ることを考えよう。

今度はガラス管に例えればナトリウムを入れ、その量はそのままにしておいて、連續スペクトル中に同時に現われていて而も同じ元素に由來する何本かの、或る系列を成した吸收線を調べる。これを多重線と呼ぶ。(第4圖)。理論によると、一つの原子が或るスペクトル線(A)を吸収する確率は、その原子が他のスペクトル線(B)を



第4圖

吸収する確率の二倍であるようなことが屢々起る。Aは當然Bより強いから、A及びBを生ずる状態にある原子の數を横軸に、吸収線の強さを縦軸にとつてやれば、前と同じような成長曲線が求められるであろう。

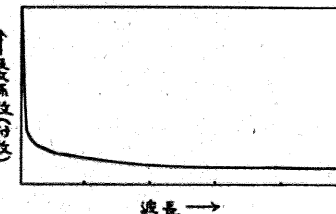
例えば太陽の黄色のスペクトル領域に強く出ている二本のナトリウム線を測つてみよう。K. C. Wrightによると、その強度の比は $0.850/0.660$ である。理論によるとこの値は丁度2にならなければならないが、観測では1.3即ち大體 $\sqrt{2}:1$ になつてゐる。そのわけはおあづけにして、とにかく夫々の原子數に對して $0.850, 0.660$ をプロットすれば、太陽の成長曲線の一部分が得られるわけである。

星や太陽の成長曲線を完成するためには、吸収線として天體で観測されて、而も理論から上述のような確率の比が決められるものを利用しなければならない。そのような多重線は既に多く選ばれて、相対的な遷移の確率も計算されている。一組毎の多重線から成長曲線の一部分づつが畫かれるから、それらを皆重ね合わせると、観測された範囲内の成長曲線が完成する、ところが困つたことには、唯一組の多重線を利用する限りではそれでもよいが、幾種類かの多重線を利用するのが普通であるから、その場合には各原子又は各吸収線の“絶對的”な遷移確率の値を知らなければならぬ。相対的な遷移確率を求めるのは易しいが、絶對的な値の方は求め難い。原理的には量子力学で計算される筈になつているが、その計算は水素とか電離ヘリウムのような簡単な原子を除けば、一般にものすごくややこしい。R. B. Kingは實驗室で、電離や躍起の状態を正確にコントロールしながら、その際生成されるスペクトル線を測定し、それによつて必要な原子係數を決定する道道を創つた。まだ充分とは言えないが、それで一應星や太陽の成長曲線を作ることができ、天體大氣の構造が非常に明瞭になつてきたのである。

§ 3. 吸收線のプロフィール

先程の簡単な成長曲線の説明の時にスペクトル線の吸収の量とか強度とか漠然とした言葉を使つたが、この量をもつと正確に表現するためには、考える原子がその正規の波長の近傍で引き起す吸収をも含めた全吸収量を以てしなければならない。それにはスペクトルの分散方向に沿つて、つまり吸収線を横断してプロトの黒みを測定し、それを背部の連續光の黒みを単位として表わす。この寫眞の黒みに適當なキャリブレーションを施してやれば光の強さに換算できる。横軸に波長、縦軸にパーセンテージで表わした吸収量をとれば、測定した變化は吸収線の形即ちプロフィールを畫くであろう。成長曲線の縦軸にとる量は、プロフィール曲線の頂上を通る水平線と曲線とに圍まれた面積で、プラニメーターで測ればよい。その単位は幅が 1 Å で長さが 100% であるような矩形の面積を使う。

次に吸収線のプロフィールがどのようにして生成されるかを論じてみよう。原子が唯一個存在する時それによつて光の吸収される割合を吸収係數といい、理論から厳密な計算式が求められる。第5圖の k-曲線はその係數を示したもので、圖の左端即ち吸収線の中心



第5圖 k-曲線

部では原子は非常に能率のよい吸収體であるが、中心からはずれると始めは急激に順次ゆるやかに減少していく關係がわかる。圖には半分だけ表わしてあるから左端も折返して對稱的な全體の形を得る。この吸収の割合そのものは、たとえ原子がどんな運動をしていようとも變化しない。

§ 4. 大氣を通過する時の吸収

原子毎の吸収係數が判つたら、それに存在する原子の總數を乗じてやれば、大氣を通り抜ける間に失う光の量が判るかというとそはゆかない。光は最初の原子に當つて k-曲線で示されるような僅かな吸収を受けるが、次の原子にはその一寸減少した光が當る。従つて吸収する光の量は前よりは小さい。最初にやつてきの光の量を I_0 、原子一個當りの吸収係數を k 、單位體

積中に含まれる原子の數を N , 考える大氣の層の厚さを H で表わすとき, 上のような過程を経て最後に我々に観測される光の量 I は

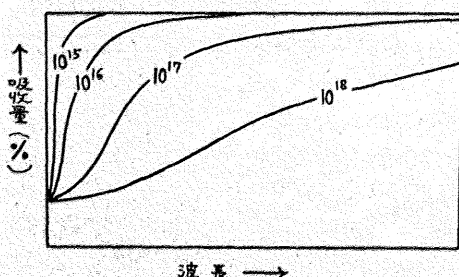
$$I = I_0 e^{-kNH} \quad (1)$$

で與えられる。第1圖でいえば I は 100% の連續背部から, 吸收された量を差引いた残りである。所がこの式は一度吸收された光は再び光として放出されないと仮定を含んでいる。星の大氣では各原子に吸収された光は再び放出されるから, それだけ通り抜ける光につけ加わり, (1) の I よりは大きくなる。

この I の増加を決めるために, Eddington, Unsöld, Strömgren, Menzel, Chandrasekhar 等が非常な努力を拂つたのである。近似的な式でその結果をまとめるとして, 吸收線の中心に於ける強度を I_c として

$$I_0 - I = \frac{1}{1/(I_0 - I_c) + 1/kNH}$$

で表わされる。前の k -曲線と組合せればプロフィールが計算される。成長曲線を作るには, プロフィールの面積 W を波長 λ で割り, $\log \frac{W}{\lambda}$ を作つて縦軸にとり, 吸收線を生成するのに與つて力のあつた原子の個数の對數を横軸にとつて圖表を作るのが一番都合が多い。さて NH の種々の數値に對してプロフィールを計算すると第6圖のような結果になる。圖中の數字は NH 即ち斷面積 $1cm^2$ の圓柱内に含まれる吸收に與る原子數である。 NH が 10^{12} より小さくなると吸收線は非常に狭くなつて圖に表わされなくなる。亦 10^{18} を超える



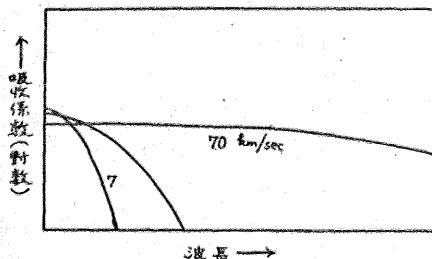
第 6 圖

と中心からずつ横の波長域まで水平に伸びる。ブランニメーターでこの面積を測つて今説明した成長曲線を作ると, ゆるい傾斜の直線關係が求められる。

§ 5. 原子の熱運動

もし原子が靜止状態になら運動していたらこの曲線はどうなるであろうか。星では必ず原子の熱運動がつきまとつている。運動している原子からみれば, その速度に應じて光の波長は異つて見え, 従つて吸收する

波長の範囲は擴大される。熱運動というのは原子が或る平均の速度を中心にして, あらゆる速さをもち, あらゆる方向に全くでたらめに飛び廻つてゐるのであるから, 元は一本の幾何學的線であつても擴げられてしま



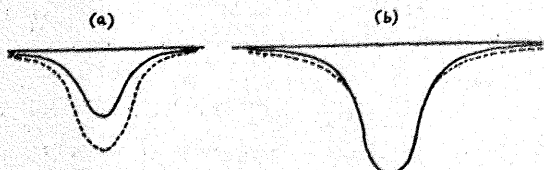
第 7 圖 α -曲線

うであろう。このような熱運動を言い表わすには, 最も多くの原子がもつてゐる速さの大小を以てする。ここではそれを平均速度と呼んでおこう。太陽の反彩層では熱運動の平均速度は 1 乃至 2km/sec である。このドップラー効果による吸收係数は, 第7圖に示すように(α -曲線)前の k -曲線とは全く異つてゐる。

實際のプロフィールは k -曲線と α -曲線とを組合せて合成吸收係数を計算すればよい。その結果スペクトル線の中心附近に於ける吸收係数は殆んど α -曲線で與えられ, 中心からはずれるに従つて, 即ち翼の部分では k -曲線が支配的になる。同じ一つの吸收線でありながら, 部分によつて異なる要素から生成されることが, 成長曲線の形に重要な結果を生ずるのである。吸收線を擴げる要素は初めに一寸書いたようにまだあるが, 要するにそれらによる吸收係数を上と同じようにして合成すればよい。

§ 6 實際の成長曲線

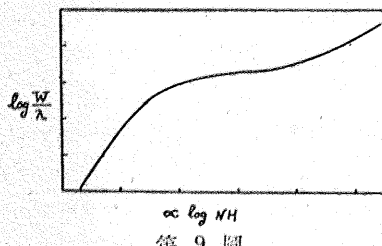
さて準備が終つたので星の大氣に於ける吸收線の生成と成長の模様を考えることにしよう。先ず弱い吸收線の場合は, 第8圖(a)に示すように, 原子の數 N が



第 8 圖

大きいと略々それに比例して吸收の量は増える。ということは成長曲線の圖上で N に比例する直線部分を形成することを意味するわけである。これに反して非常に強い吸收線の場合は(第8圖(b)), 中心部は既に飽

和しているから、 N が大きい時でも中心部に於ける吸収量の増加は少く、翼の方で略々 N に比例して増加するに過ぎない。全體としては N に比例せず、従つて弱い吸收線の場合よりは緩い傾斜の直線關係を示すであろう。弱い吸收線と強い吸收線との中間の所では、中心部は飽和しているが翼が發達していないので、吸収量の増える餘裕がなく、成長曲線は横ばいをし、やがて翼の發達した強吸收線の方へ移行する。横ばいする位置は熱運動の強弱に影響され、小さければ早く、大きければ N に比例する直線が相當伸びてから傾きはじめる。一般的な傾向としては、急傾斜の直線、それが徐々に轉曲して水平になり、再び今度は緩い傾斜で上昇する直線に連なるといふ成長曲線が書かれる(第9圖)。後者の傾斜は理論的には \sqrt{N} に比例していることが判る。



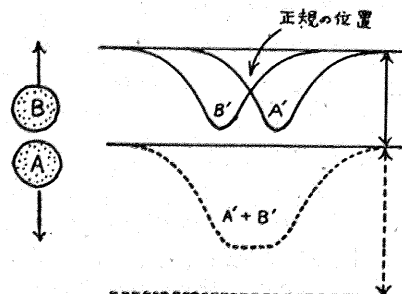
第 9 圖

§ 7 星の大気に於ける亂流

成長曲線の應用面は非常に廣いが、茲では亂流運動との關聯の問題だけを取上げることにしよう。星の大気に於ける亂流は熱運動よりは遙かにスケールの大きい巨視的な運動であると解釋されているが、そのように大きな速度は、星の成長曲線を書いて理論的な曲線と比較することによつて求められたものである。ところが成長曲線の立場から眺めると、亂流にも二種類あつて、small scale と large scale を區別しなければならない。亂流の要素の塊といるのは、その中にでたらめな熱運動をしている原子が充分多く含まれていて、而もその塊自身が勝手に飛び廻つて、雲を見れば判るように複雑な塊の擾亂運動は極く一般に現われるが、巻雲とか層雲とかは特殊な氣層狀態でないと現われない。整然とした一方向きの流れは運動の自由度が極度に制限されていて初めて生ずるものであり、亂流こそは非常に一般的な運動であるといふ概念は、戰後導入されたものである。亂流を引きおこす源泉によつて規定される或る限界の塊の大きさ(エネルギー的な)から、次第に小さなものへと分解し、最後は原子の熱運動に轉化してゆく過程に於て、亂流は定常的な平衡を保ち得る。今の場合は吸収線を生成する大氣

の層に於て、それに定常的に影響を與える平均的な速度の存在を認めればよい。

small scale, large scale の亂流の區別は、塊の大きさが光學的に小さいか大きいかを意味するもので、必ずしも形の大小や速度の大小に關しての區別ではない。前者では原子の熱運動に大きな運動が重疊されて、結局ドップラーが誇張されるに過ぎない。従つて吸収係数に直接效いて來て成長曲線に甚大な影響を及ぼすことになる。



第 10 圖

これに反し large scale の亂流では塊が光學的に大きい(光學的厚みが 1 の程度)ので、その塊自身で吸収線を生成するに充分である。そこで例えれば第10圖で A, B 二つの塊を考え、A は手前に B は後方に運動しているとする。A で作られた吸収線は正規の位置から紫側にずれ、B からは赤側にずれる。色々な速さと方向をもつた塊からの吸収線は重なり合つて観測されるから、結果として點線で示すような非常に幅の廣い吸収線ができる。然し乍ら同時に連續背部も重疊されるから、それを單位として吸収量を表わす關係上、全吸収量は一つの塊から来るものと同じである。従つて成長曲線には影響を及ぼさないといふ一見不思議な結果が得られる。

白鳥座 α 星に對する Greenstein の研究、大犬座 α 星の Struve の研究等は、成長曲線と亂流運動との關聯性を取扱つた面白い問題であるが、既に紙數も盡きたので筆を止めよう。亂流が巨星や超巨星及び A, F 型に屬する數個の特異星等で特に著しいことは注目してよいであろう。疑もなくこの事實は、これらの星の表面重力が弱くて、プロミネンス類似の亂流運動を引き起し易いことに關聯していると思われる。

この稿を草するに當り、O.Struve, Curves of Growth, Scientia, XLV, 81, 1951 を多く引用し、亦末元さんに種々御教示して頂いたことを記して謝意を表したい。

主として天文測地を目標として行われる、皆既の時刻を精密に決定する方法として、日食の進行状況をそのまま映画に撮影する方法は、誰も考えつく方法であり、事實廣く採用されている。勿論この様にして得られたフィルムには撮影のくわしい時刻がわかる様な印がつけてある。今この様な寫眞を普通使用されている焦點距離 2m 程度の望遠鏡により撮影したとすると、画面では 1mmが角度の約 $100''$ に當り、月の運動は時間の 1^s に對し約 $0.^{\circ}5$ であるから、距離を 30m 迄求めに必要な $0.^{\circ}.3$ の精度に對しては月の位置を $0.^{\circ}02$ 迄測らねばならぬ事になる。之も直接測ることはフィルムの粒子に災いされて非常に難いと考えた B. Lindblad は 1927 年 7 月 29 日の日食の経験からフラッシュスペクトルを連續的に映画撮影するのがよいと提唱し、1945 年 7 月 9 日にスカンジナビヤを横断した日食でこの方法を實行した。

皆既時刻を精しく測定する方法としては、以上の 2 法の外に天窓からの全光量を測定すれば、少しの曇でも測定ができるのではないか (Platzek, Maiztegui, 及び Gaviola の考え方)ともいわれ、又 Atkinson は皆既帶直外の観測點から見ると、細く残つた太陽の眉形が皆既の時急速に回転 (位置角が變る) する事を使ってその時刻を決定しようとした。Atkinson は 1948 年 XI 月 1 日に Monbassa で之を實行したが、結果は未發表である。日食の時刻測定を測地に利用する事は Banachiewicz が提案し、1927 年 VII 月 29 日の日食での實験を経て、1936 年 VII 月 19 日の日食のポーランド観測隊計畫 (ギリシャ、シベリヤ、日本出張)となつたが、結果は未發表である。

1945年7月9日の日食に際して、Bonsdorff^ははこの日食が北アメリカとヨーロッパを測地的に連結する好機である事、接觸時刻は0.8028程度迄、従つて地上距離にして約30m迄決定出来る筈等の事を指摘したが、政治状勢に災いされて測地上の協力観測は行われなかつた。然し次の1947年7月20日の日食では南米と南アフリカの連結観測が成功した。1948年7月8~9日の金環食に際しては、アメリカ地理學協會等の手でアジアからアリューシャンの各地に観測隊が送られたことは周知であろう。

1945年の日食で行われた時刻記録つきのフラッシュの映画撮影はもともとフラッシュスペクトルの内觸の時の急激な變化をしらべる純物理的観測が目的であつ

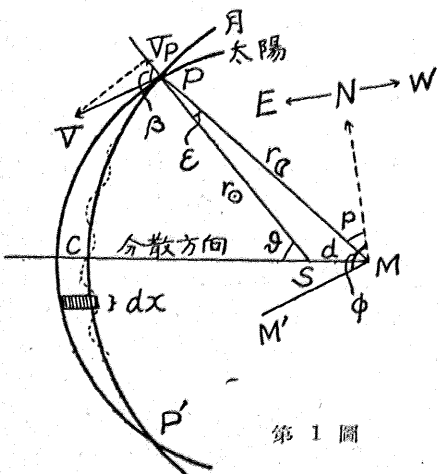
たが、太陽極縁での急激な光球の明るさの變化に着目して、測光によつて接觸時刻観測に相當するデータを得んとするもので、Kristenson が Lund 及び Stockholm 兩天文臺の觀測隊が得た寫眞を整理し、結果を發表した (Stockholm Obs. Ann. 17, No. 1, 1951). 以下にその整理方法の要點を紹介する.

Lund 隊の寫眞は $f=64\text{cm}$ のアボテッサーに 26° の SF2 ガラスの対物プリズムをつけて (F/12)1秒に 24・7コマ (露出は 0.8013) の割合で 25秒間撮影したものである。平均分散は $H_T - H_E = 3 \cdot 8\text{mm}$ であつた。Stockholm 隊のものは $f=101\text{cm}$ の反射鏡のニュートン 焦點で撮影し、SF2 の 14° ・プリズムを使い (F/14)、平均分散は $H_T - H_E = 3 \cdot 6\text{mm}$ で、露出は 0.801 であつた。

フラッシュの輝線の出没に着目しても、之では通常光によるベーリービーズの観測と結局は同じもので、一向精度は増加しない。然し光球の極縁での光輝の減少度合は彩層に於けるより著しく大きいので、光球の測光に當る連續スペクトルの測光が、接觸時刻の問題にとつては必ずと有利であると考えられる。しかもこの方法ではプロミネンスの影響もはるかに少い。

連続スペクトルの測光によると、與えられた露出と波長に對し

(a) 光球極縁部に於ける太陽の見かけの半径方向の光の分布



第 1 圖

- (b) 月緑の形状
 (c) 月と太陽との中心の距離 d
 (d) 月と太陽との視半径の差 $A = r_{\odot} - r_{\oplus}$

が後に説明する様にわかる。即ちこの四量が未知量で、この中で(a)は太陽の物理的性質だけによるもので、他のものとは独立に決定出来る。残る3量は月、太陽の幾何學的性質で定まるもので、接觸という現象に直接關係するのは(c)であるが、その決定には(b)の知識が必要である。實際の測光を行つたのは H_{α} より僅か長波長の部分で、($\lambda 4100$)、 H_{β} の短波長よりの所も測定に適している。測光は分散方向に直角な一直線上に行い、測光器のスリットの幅は月縁での位置角差 $0.^{\circ}35$ に當る。この目的に使えた寫眞は接觸の附近の3~4秒間のものだけであつた。

光球の減光を記錄せしめるのは月と太陽の見かけの相對速度 v 中、太陽の半徑方向の分速度 v_p のためであり、之は航海暦によつて計算した。即ち v_p なる速度で第1圖のP點では月縁が太陽縁に垂直に太陽大氣をおおつて行く事になる。Pの進行方向(即ち月心Mの進行方向に平行)PVとPでの太陽半徑の延長との間の角を β 、Mの進行方向とPMの位置角をそれぞれ φ 、 p とし、又分散方向と太陽半徑SPとの間の角を ϵ 、 $\angle SPM = \epsilon$ とすると(第1圖)。

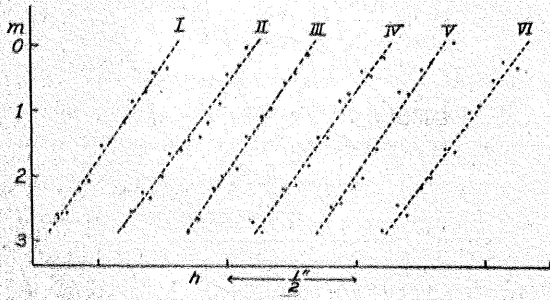
$$v_p = v \cos \beta = v \cos (\varphi - p + \epsilon)$$

となる。然し今は ϵ は小さい($<1^{\circ}$)から、

$$v_p = v \cos (\varphi - p)$$

で充分である。

さて連續スペクトル中の6點について得られたその次々の時刻に對する光度等級 m を露出時刻に對して圖示すればどの點についても直線であると見なす事が出来た。従つてこの直線の傾斜より、 m の時間に對する



第2圖

變化 dm/dt がわかり、従つて光球の高さ h に對する m の變化 dm/dh は

$$\frac{dm}{dh} = \frac{dm}{dt} / \frac{dh}{dt} = \frac{dm}{dt} \cdot \frac{1}{v_p}$$

の式により計算出来る。前記の様に dm/dt は測定範囲では殆んど一定と考えられ、測定の結果より

$$\frac{dm}{dh} = 5.69 \pm 0.11 \quad (dh \text{ の角 } 1'' \text{ につき})$$

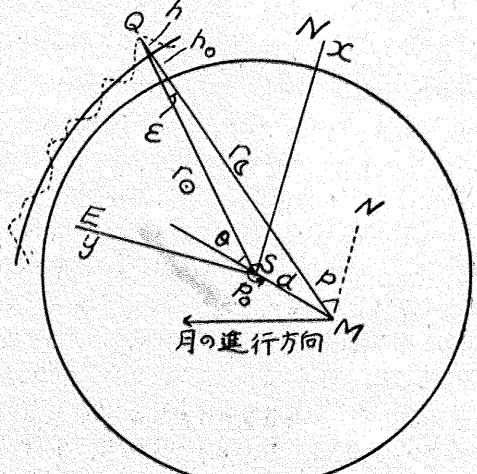
となつた。測光誤差は $0.^{\circ}12$ と考えられるので、上の dm/dh の値に従えば、測光によりある明るさの Level の位置を $0.^{\circ}02$ 範定め得る事になる。そこで我々はある特定の明るさ m_0 の Level h_0 を太陽の縁と定める事が出来るといふのは、この Level が第2、第3接觸の寫眞で同一 Level でありさえすれば之は太陽縁と同心圓であり、之が見かけの太陽の縁に一致してもしなくても太陽の中心を定める事が出来るからである。よつて m_0 の Level 決定から太陽中心がわかる。今月縁の月心位置角 p の點で t_0 なる露出時刻についてその點の測光高度 h_{ip} を測定したものとする。然らば他の任意の時刻 t_0 に對するこの月縁點の高さ h_{otp} は

$$h_{otp} = h_{ip} + v_p (t_0 - t_i)$$

で計算出來、 t_i のすべてにつき求めた h_{otp} の平均値 h_{op} は t_0 に於ける月縁點の高さを與える。 p を種々にとればその結果 t_0 に於ける上に定めた人爲的太陽縁よりの月縁の高さがわかる。

接觸問題を解決するために殘つている問題は t_0 に於ける太陽のある Level を基にした月縁の高低を平均月縁のものに引直すと同時に、月心位置を知ることである。即ち第3圖のQを t_0 に於いて太陽の標準Levelよりの高さ h_0 及び月Mよりの位置角 p のわかっている月縁點とする。

太陽中心Sを原點とする直交座標によるMの座標を



第3圖

x, y 平均月縁よりのQの高さを h 、太陽及び月の半径をそれぞれ r_{\odot}, r_M とすると、QS, SM のQMへの投影はQMに等しいことより

$$(r_{\odot} + h_0) \cos \epsilon + d \cos (p_0 - 180^{\circ} - p) = r_M + h$$

となる。但し d, p_0 はSに對するMの極座標である。

$\cos \epsilon$ を展開し、小さい $h_0 \cdot \epsilon^2/2$ を無視すれば、上式は

$$d \cos(p_0 - p) + (r_\zeta - r_\odot) = h_0 - r_\odot \frac{\epsilon^2}{2} - h$$

又は例えば第2觸については

$$\begin{aligned} d \cos p_0 &= x_2 \cos p = a & r_\zeta - r_\odot &= z \\ d \sin p_0 &= y_2 \sin p = b & r_\odot \frac{\epsilon^2}{2} &= \nu \end{aligned}$$

とすると、 $a x_2 + b y_2 + z_2 = h_0 - \nu - h$

となり、同様に第3觸については

$$a x_3 + b y_3 + z_3 = h_0 - \nu - h$$

の條件式が得られる、 ν は小さな補正量であるから、その計算は $a = r_\zeta - r_\odot$, $r_\zeta = 16'$ として計算して充分である。この式を條件式として、 x , y , z を多くの Q に相當する點に適用して x , y , z を最小自乗で決定するのであるが、第2, 第3接觸寫眞の整理に使つた基準時刻をそれぞれ t_{02} , t_{03} とする時 ξ , η , ζ をそれぞれ $t_{03} - t_{02}$ の時間に生じた x , y , z の増分（計算出来る量）とするなら

$$x_3 = x_2 + \xi, \quad y_3 = y_2 + \eta, \quad z_3 = z_2 + \zeta$$

であるから、上の條件式は

$$ax_2 + by_2 + z_2 = h_0 - h_H - \nu - h_1 \quad (\text{第2觸})$$

$$ax_2 + by_2 + z_2 = h_0 - h_H - \nu - h_1 - a\xi - b\eta - \zeta$$

(第3觸)

の形となる、但し今は精度をあげる爲 Hayn による月縁の高さ h_H を第1近似にとり、 $h = h_H + h_1$ とおいてある。これを解いて残つた h が平均月縁に對する月縁の高低を表わす事となる。

測地問題に對しては観測點毎にある標準時刻（今は t_{02} ）について月心の太陽中心に對する相對座標が分ればよいのであるから、以上で問題がとけた事になる。

1945年の日食については、この方法で決定した本影錐が観測者を描く時刻は 0.5028 の精度で決定出来たといい、月縁の高低の測定値の Lund 隊と Stockholm 隊の結果の差の平均は 0."012 に過ぎなかつたといふ。又上の様にして得られた月縁形狀を正しいとすれば、Hayn の月縁の一點の値の誤差は 0."21 となるが、一方 Hayn はその表の誤差を 0."25 と推定している。Servo 方式で月縁の大きな形を書かして測定している Watts 及び Adams の結果は誤差 0."07 と唱えられている。この日食に際し、カナダでは唯一一つの観測隊が、同様な観測を行つたにすぎなかつたが、露出過度の爲、整理は不可能であり、從つて測地結果は得られなかつた。

準矮星の銀河系内における運動 北村 正利

以下は W. Lohmann: "Die galaktischen Bewegungen von 59 gelben und roten Unterzwergen." (Zs. f. Ap., B25, 1948) の簡単な紹介であり、内容に於て専いくばくの難點をも含み、今後の研究にまつべき所はあるが、最近問題となつてゐる星の種族との關聯に於て、高速度星としての準矮星の銀河運動を取扱つた點に於て、興味ある論文である。理解を容易にする爲、恒星運動に関する多少の説明を附け加えつつ述べてみる。

1. 恒星運動と高速度星

我が銀河系内に於ける太陽近傍の恒星運動に關し、我々は可成り豊かな知識を有している。太陽近傍の恒星は一般に明るい星が主で、此等は太陽と共に、風に運ばれて行く群蜂の如く運動し、その中では各恒星は様々な方向へ様々な速度で動き、太陽自身もその群の中心 (local standard of rest) に對し、約 20 km/sec の速度でヘルクレス座の方向へ進んでゐる。然し全體としては、その中心が銀河系中心の廻りに約 250~

270km/sec の速度で銀河回轉を行いつつある。此れが現在の銀河系統計力学から得られる知識である。

此處で興味ある問題を提供するものとして、高速度星なる星のグループがある。これ等はその名の示す如く群の中心に對する速度が大きいのであるが、單に一般星の平均より大きいのではなく、これ迄の種々の研究の結果、63~65km/sec なる値がその下限であり、そのスペクトル型についても B 型、A 型の早期のものは非常に少なく、殆んど多くは、より晚期の矮星である。又その方向分布は、銀河回轉の方向とは反対方向の半球内に、全部偏つて現われる事が知られている。

2. 準 矮 星

高速度星の中で特徴あり、且つ興味あるグループを作つてゐる準矮星と稱せられる一群の恒星がある。かかる星群のある事は最初 Mt. Wilson 天文臺の W. A. Adams 一派の観測で報告されたのであって、Hertzsprung-Russell 圖表上白色矮星と主系列星との間に位置する數個の星のある事を發見したが、その後二

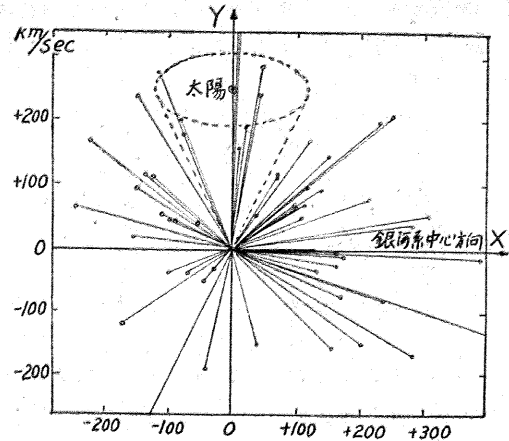
三年経て G. P. Kuiper が主系列の下側に一つのまとまとった系列があり、それが主系列と略々平行に進んでいる事に注意し、彼はそれを準矮星系列と呼ぶ事を提案した。更に彼は此等準矮星の殆んどが高速度星であると云う著しい事實を指摘して注意をひいた。準矮星のスペクトルは通常の矮星のスペクトルとは異つた様相を示し、A. H. Joy よれば吸收線が異常に弱く不明瞭であり、且それが可成り狭い爲、これを星自身の急速自轉の結果として説明する事は出来ない。ごく最近 O. T. Eggen (畠中武夫「科學」Vol. 21, No. 1 に紹介されている) は此等の中絶対光度の知られたものの光電観測を行い、精密な色指數の測定を行い、Hertzsprung-Russell 圖表上の準矮星系列の位置を決定し、それ等が一つの曲線上に非常に銳く並んでいる事を見出した。

此處で一つ注意すべき事は、すべての既知の準矮星は太陽の比較的近くに發見されている事である。見掛けの等級が12等でも 100 パーセク(325光年)以上遠くにあるのは稀である。従つて準矮星は絶対光度は通常の矮星より暗いが、空間的には太陽の近くにあると見做す事が出来る。勿論この事は銀河系内の他の場所には何處にも準矮星が存在しない事を意味するのではなく、唯非常に遠ければ見掛けの等級は餘りにも暗く、その爲發見され難くなる事を意味するに過ぎない。

3 準矮星の運動

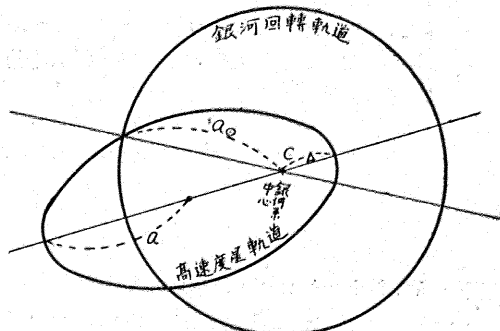
恒星運動は観測より求めた固有運動、視線速度、視差より計算されるが、この中前二者は非常に多く知られているが、最後の視差の幾何學的に知られたものは限られ、従つて 59 個の準矮星を一様に取扱う爲には分光視差を用いねばならぬ。その中三角視差が 33 パーセクより大きな 23 個を取り Kuiper, Joy の結果をも参照して、準矮星のスペクトル型別の絶対光度を決め、それにより 59 個全部の分光視差を計算する。固有運動、視線速度と組合せ太陽に対する運動を求め、更に太陽運動として、 $V_{\odot} = 26 \text{ km/sec}$, 向點 $\alpha = 278^{\circ}$, $\delta = +30^{\circ}$ (G. Strömgren: A.P.J. 104, 1946) を取れば、星群の中心 (Local standard of rest) に対する運動を求める事が出来る。更に銀河回転速度として $250 \pm 25 \text{ km/sec}$ (P. P. Parenago: RAJ, 24, 1947) を採用すれば、銀河系中心に対する速度が最終的に決定される。その際速度の三成分 X, Y, Z の方向を夫々銀河中心、銀河回転、銀河北極方向に取る。59個の速度ベクトルの (XY)-面への投影を描けば、第1圖の如くなる。

4 準矮星の軌道



第1圖

速度の三成分より二體問題としての 59 個の軌道常数を求める。この際銀河中心核の中へ飛びこんでいく星が核内部の力學的摩擦の爲、その運動のエネルギーに變化を受け核へ飛び込んで後の運動がそれ以前の運動とは全然異つてしまふと云う事は全く無視して考えね事にする。速度ベクトル $v(X, Y, Z)$ と X 軸とのなす角を φ とすれば、



第2圖

$$\cos \varphi = \frac{X}{\sqrt{X^2 + Y^2 + Z^2}}$$

又半径 r 、軌道の半長軸 a 、離心率 e とすれば、力學的エネルギー保存より、

$$v^2 = \frac{1}{k} \left(\frac{2}{r} - \frac{1}{a} \right) \quad k: \text{常数}$$

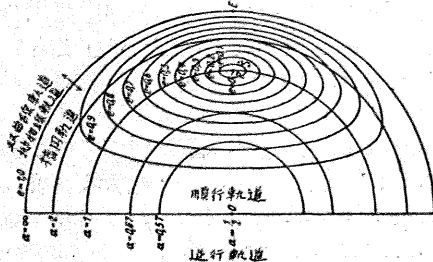
長さの単位として $a_{\odot} = 1$ (太陽に関する量には \odot を附す) とすれば、 $r = a_{\odot} = r_{\odot} = 1$ だから、結局

$$a = \frac{1}{2 - (v/v_{\odot})^2}$$

又核に對する軌道の近點距離は $d = a(1-e)$ 。

ここで e は K. F. Bottlingen の圖表 (第3圖) より v, a を徑發として読み取る。天體力學から一個の星の速度が圓運動の方向と異つた方向を持つ場合には軌道は橢圓になり、又その速度の大さが變ると橢圓の長半軸は圓運動の場合の半径とは異つて来る。彼は Ke-

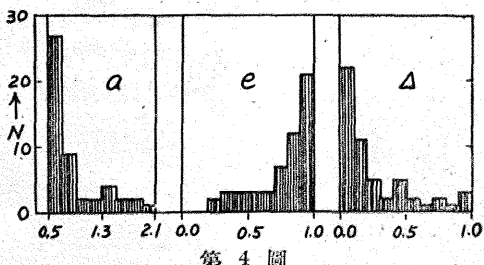
pler 運動を假定し、銀河系の引力は、その中心に全部集中した質量により起るものとして、 v, a, e の間の関係を第 3 圖



係を次の如き圖表に作つた。第 3 圖の圖表は $a \gg 1$ の時は正確さが充分でないので、その際は次の公式より計算する。

$$e = \sqrt{1 + (2a - 1)^2 + 2(2a - 1)\cos 2\varphi}$$

59 個の a, e, Δ の頻度分布を適當な間隔で作ると、第 4 圖が出来る。



アメリカ便り III

5. 結論

僅か 59 個ではあるがその限りで統計的に解釋を行つてみよう。又分光的視差を用いた爲、個々の場合の速度、軌道常数は必ずしも信頼し得るものではないが、統計的平均を考えれば準矮星の本質的な運動は把握されるであろう。

第 1 圖より準矮星の速度場は、太陽から 20 パーセク以内の通常星の速度場（第 1 圖の點線で描かれた橢円内に落ちる）とは非常に異つており、空間のあらゆる方向に強く分散し、恐らく準矮星は銀河系内で球状の亞系を構成しているのではないかと思われる。

第 2 圖より、 a の分布は $a = 0.5 \sim 0.7$ の間にあるのが半數以上であり、又 e の高い値に對する集中率は大きい。今假りに、太陽は銀河系の周縁にあり、銀河半径と核半径との比を 6:1 と取つてみよう。然る時、準矮星の本質的な部分は核と有機的なつながりを持っていると考えられる。銀河内の一区域、即ち太陽近傍に於て發見された 59 個の準矮星の由來を、銀河中心核に求める事が出來るとすれば、以上行つた計算をば、黃色及び赤色の準矮星が種族 II に屬すると云う Baade の定性的な説に對し、定量的な證明になると見做す事が出來よう。

藤田 良雄

白い雪に包まれたウィリアムス・ベイに降りたつてから既に 9 カ月、寒い冬からジェネバ湖の結氷がとけ始め、カージナルといふ眞赤な鳥の啼き聲に春近きを感じるようになつたかと思うと、湖水は泳ぐ人達で賑わうようになり、それも過ぎて今は秋らしい氣配が濃厚になつて來ました。この著しい四季の移りと共にヤーキス天文臺における私の生活もいろいろのことを経験しました。まとまりはありませんが思いつくままに書いて見ましよう。

観測の話ですが、この天文臺はテキサスに御承知のようにマクドナルド天文臺があり、そこには大體一月交替でスタッフが出かけ、そのスケジュールが貼り出されていますが、それと並んで粧時のスケジュールも一ヶ月分位がまとめて貼り出されています。ここはリック天文臺と違つて一週間おきにアストロメトリーとスペクトロスコピーの観測が交替で行われるのですが観測者の名前はみな略號で出ています。たとえばバイデルマンさんは Bi、私は Fu といった具合に、その 46 時の観測ですが今でも時々思い出すのは 1 月 29 日、ドーム内の温度が -23°C の時のことです。観測の前半をうけもつ時は夕方から 1 時まで後半は 1 時から夜明までとなつて居り、リック天文臺とは少し喰い違つています。今では少し長くなりましたが、6 月から 7 月の始め頃にかけては 1 時に観測を始めるところ 3 時

すぎには明るくなつて止めなければならないという始末で、9 等 10 等の星のスペクトルでは星 3 つ位撮ると終りになつてしまします。この頃前半を終えて宿舎に歸りますと虫の聲がまびすしく、空氣も冷え冷えとして全く秋といつた感じです。

40 時の望遠鏡は毎土曜日に公開されています。春は午前 10 時から正午まで、夏から秋にかけては午後 1 時半から 3 時までです。去る 4 月 21 日にはその案内役をふりあられ、大いに苦心しながら説明しました。この頃は人數が多く、多い時は 700 名をこえることもあります。自動車が目白押しにならんでいます。

観測と共に印象的で忘れられないのは 7 月 1 日の夜のすばらしかつたオーロラです。ビーズレーといふ學生さんが私に知らせに來てくれたので早速戸外に出て見ましたら、いくつにも別れた光芒が北の端から中天まで擴がり、しかも見ているうちにその方向が變ります。サーチライトの大仕掛けのような感じで月夜よりも明るく感じました。

學生への講義は、春はモルガンさんのスペクトル分類、ヒルトナーさんの變光星、ストレームグレンさんの星の内部構造論、夏はストレームグレンさんの數値計算、ジョンソンさんのラジオ天文學がありました。

さて私も愈々後半カ月でウィリアムスベイの生活と別れなければなりません。親切な人達と美しい自然とは永久に心の裡から消えないことでしょう。

ハーセク

「北極星は距離が400光年、すな
わち今見ている光は400年も昔に
北極星から出發したものがようや
く私どものところに届いているのですよ」というと、
ハーレンといかにも感心してくれる。光がどんなに
速いかということはよく知られているからである。
ところが「北極星の距離は125パーセクです」と
言つても一向にピンとこない。まして北極星の視差は
0.008ですと言つたところで何の反應もない。

光年といい、パーセク、視差といい、みな天體の
距離を表わすのであるが、一般には光年が通りがよ
い。しかし元々星の距離は地球の軌道半徑を基線に
して測つた頂角の角度、すなわち視差を観測してそ
れから計算して求めたものであつて、光年といふのは
その距離を光が一年間に走る距離に換算したもの
に外ならない。であるから視差が星の距離の本家で
ある。視差なくして何の光年ぞやと本家では威張つ
ているかもしれない。

しかし視差といふのはどうも扱いにくい。角度の
1°以上なんていう星はな
いし、大ていか小數點の下
にりが一つも二つもつく。
そればかりでなく視差は

“オー・ソレ・ミオ”と
いうからにはわが太陽は世
にも美人であつてほしい。
しかしその豊麗な頬のあた

りにあばたでもあればこれをえくぼと思つてしま
うのぼせ上つた御仁がいるものであるから、あばたも
また愛される條件の一つということになる。

奇麗にお化粧した顔をそのまま眺めていればよさ
そうなものを、ヘルルといふ意地の悪い天文學者が
いてそのお化粧をはがしてしまつたので俄然うるさい
ことになつてしまつた。美人寫眞家はあばたもそ
ばかすもかくしてなるべく肌を美しく撮るように苦
心するというのに、この方は逆にできるだけあらを
探そうといふのである。

まず寫眞機のレンズの作つた像のところに細いス
リットておく。それを通つた光をプリズムに當てて
分散させる。こうすると光のスペクトルができて太
陽の場合にはその中に幾つもの暗い線が出ている。
これは太陽の顔にお化粧したガスが地肌の光を吸

收してできたものであることは
スペクトロヘリオグラフ

距離の逆数であるから、距離が遠いものほど小さくなる。これではいくら御本家でも親しくなれないのが人情というもの。そこで天文學者は「視差1.7°の距離を1パーセクとしようではないか」ということに話を決めた。こうするとその10倍の距離の視差0.1°は10パーセクとなつて幾らか扱い易くなる。

これでパーセクという字の意味はお分りのことと思うが、念のために書くと、par secondを略したものである。secondは角度の秒であることは勿論である。何れにしても視差は角度の1°以下の小さいものであるから、距離と角度は反比例してくれ。すなわちパーセクを距離の物尺に使つても差支えないことになる。1パーセクを光年に直すと3.259光年となる。絶對等級は星を32.59光年のところに持つて來た等級を言うのであるが、これは10パーセクを使つたものに過ぎない。學問上では光年よりもパーセクを使う方がいくらか合理的であるが、そうかと言つてこれを一般におし賣りするにもあたらない。パーセクになじめない方は御遠慮なく光年を使つて少しも差支えございません。



ある。その線のところに今度は第二のスリットをおいて、それを通つた光を寫眞乾板に當てる。このとき寫る像ははじめのスリットを通つた顔の一部分だけであるから、第一と第二のスリットを載せた器械の全體を左右に動かして顔全體を一わたりさせると、ここに全く形相の變つた太陽の醜寫眞ができるのである。

こうしてお化粧とはがされてしまうと、可愛らしいえくぼくらいに見えていた黒點の周圍はその邊り一面にカルシウムや水素のガスが渦を巻いていたりする。第二スリットに當てる暗線の種類によつて下塗りのお化粧や、上塗りのお化粧など違つたものが出てくるので、よく寫眞でお目にかかるような違つた形相の顔が現われるるのである。

人も年頃ともなれば顔に色々吹出物が多くなる。これをお化粧でかくそうとするが、スペクトロヘリオグラフにかかると、それを情けもなくはがしてしまう。太陽活動の盛んなとき一番地球にいたずらをするというフレアといふのも、黒點の近くに出るこうした太陽面の吹出物であつて、それを探していく天文學者も隨分とお人が悪いといふのである。

流星観測用スーパー・シュミット・カメラ ハーバード大學天文臺のベーカー氏が設計したこのカメラは二つの同心の球面レンズと一枚の補正レンズを通して同じく同心の球面反射鏡による像を球面の焦點面にフィルムをおいて撮影するようにしたものであつて、口径12インチ、焦點距離8インチである。これは $F/0.67$ という明るさの上に、 52° の直徑を撮影できるという優秀なものである。最近の私信によればハーバード天文臺のものは既に完成して観測を開始したが、ホイップル氏によればこれによつて3等乃至4等までの流星の撮影ができる由で、今までの流星寫眞が1等級程度まであつたのに比較してその機能の優秀であることがわかる。これくらいの流星になるとその數もずつと増すので、これによつて流星の軌道などの研究は劇的に進歩するであろうことが豫想される。

同じカメラをカナダでも二臺設け、西部の天文臺にて同時観測に使用されることである。これらも既にでき上つた由で近く観測を開始すること。

(古畑)

シベリア沿海州に落下した隕鐵 1947年2月12日 10時35分頃(地方標準時)シベリア沿海州ウスリヤのSikhota-Alin(東經 $134^\circ 39.7'$ 、北緯 $46^\circ 9.6'$)に多數の隕鐵が落下した。場所はウラジオストックの北々東400キロ、虎林東方100キロの森林帶の中にあり。同年4月から5月にかけて、ソ聯科學アカデミーの隕石委員會が調査隊をおくつて調べた結果が P. A., 58, No. 6 に載つている。

この隕石落下の珍しいのは大量の隕鐵の落下が目撃されたことである。落下地點は7~8平方キロの陥圓形の地域内で、その陥圓の主軸は北より 16° 西へ偏つてゐる。この陥圓形の地域内で、隕鐵落下は南と北の二つの小區域に多く集中され、殊に南の0.75平方キロの面積の中に大量の隕石が落下した。この小區域だけで隕石落下による漏斗狀の孔を多數數える事が出来、直徑0.6米から最大のは28米まで、106個もあつた。この中直徑10米以上の落下孔は21個、3~10米の直徑のが18個あつた。

落下孔の中、或は孔と孔との間には大は1kgから小は1g以下に及ぶ隕鐵を澤山集める事が出来た。それらの形はとがつたのや平らなのや、S字形のや様々で、破片は錆や粘土に被われたもの、青や虹色の金属光澤の見られたものもあつた。直徑0.6米の穴を二つ發掘した處、68.7kgと84.8kgの隕鐵を得た。又2.8

米と2.6米徑の穴からはどちらも300kgの隕鐵を得た。一つは細かく碎けており、他の方は四つに割れていたが、一つに合わせられる様な割れ目をもつたのもあつた。直徑23米の落下孔の部分的な發掘では、大きな隕石は發見出来なかつたが、このあたりの地層である班岩の破片の0.5~1m位な深さの堆積層の下には澤山な隕石の小破片があつた。落下孔の状態とか落下による樹木の損傷の方向から、方位角として 359° 度、地表に對する角度として60度の値を得た。

分析の結果は、この隕石は粗八面體に屬し、Fe, 94%; Ni, 5.5%; Co, 0.38%の組成であつた。

この隕石雨は初め一つの隕石として地球大氣の中に飛び込んできたものが、地上數キロの程度の處で破裂したものと推定される。徑路途中で固體の流星物質が短時間にガス體に變ずる處の爆發現象は起らなかつたようである。調査隊の採集した隕石破片は約5トンであるが、地上に落下した隕石の總量は100トンに及ぶものと思われる。

(下保)

惑星大氣の水素分子のスペクトル 水素原子のスペクトルは天體の重要な特徴の一つであるが、水素分子のスペクトルの見出されないのは、可視域に適當なスペクトル線を持たないためである。1938年にHerzbergは、水素の四重極輻射が觀測されるかも知れないという可能性を指摘したが、この程その實在を示唆した。Herzbergによれば、H₂はλλ 8046, 8151, 8273, 8497等にきわめて弱い吸收線を示す筈であるが、Kuiperの觀測には天王星及び海王星のスペクトルにλ 8270なる線がある。これがH₂の線ではないかと云うのである。低溫度で出るべき他の線はλ8497であつて、これはOH₂吸收帶に掩われている。また木星と土星で發見されないのは、その大氣の溫度が天王星等に比べて高いため幅が擴げられているからであろうと云う。更に天王星海王星のスペクトル中のλ 7471, 7524は水素と重水素の化合物HD分子の吸收に一致するのは偶然の一致かも知れない。しかし、もしこれらのH₂及びHDの同定が確かになれば、惑星大氣中の水素の量を求められるのみでなく、その幅から溫度を求める事も可能であると、Herzbergは述べている。(Journ. Roy. Astr. Soc. Canada, 45, 100, 1951)

(畠中)

表面で爆發する星 太陽面上に爆發現象が屢々見られるが、星にも同様な局部爆發が行われないであろうか。遠くの星では勿論觀測にかららないが、太陽系に近い星、即ち近距離星では望みがある。過去に於ける寫眞のプレートを調べた所、事實このような星が發見

された、その後次第に観測されて、現在6個を数えるに到つた。発見はいずれも偶然になされたもので、他の目的の爲に観測中に突然光度が短時間急上昇している6個の星は

Krüger 60 B, L 726-8 B, BD+44°2051B,

Ross 882, BD+20°2465, Proxima Centauri, であつて、いずれもスペクトル型はMで、殆んどが輝線を伴つている。而も矮星である。距離は4光年から16光年程度で極めて我々に近いが、實視光度は9等から12等程度でかなり暗い。

たものである。

BD+20°2465はLick天文臺のKron氏が、この星の光電観測中に発見したもので、経緯時間は30分足らず、光度曲線は急激な上昇と、緩慢な減少とで、新星の光度變化に類似していた。

亦L726-8 BはYerkes,Tucsonで夫々1948年12月30日と7日に爆發を観測しているが、それに先立つ9月25日にウィルソン山天文臺で、爆發時のスペクトルを撮影することができた。それによると輝線が発達して殆んど吸収線を消し、更にHより短波長側の連續スペクトルが非常に強くなつてゐる。

これらの星での爆發の週期性は現在明かではないが、時々不規則に行われるものであろう。もし光度の増加度を星の表面全體の温度上昇によつて説明しようとするならば、僅か40°位の上昇でよいが、これでは短波長側の連續スペクトルの著しい増加が説明されない。そこでM型3000°の星の表面に、局部的に10000°位の爆發が生ずるとすれば（表面積との割合は0.02%程度の小領域でよいことが計算から判る）、困難は取除かれる。

M型に多い理由は、近距離星の統計ではM型が非常に多いことに基くのである。観測が進むればI型、G型の星にも発見されるかも知れない。尙これらの星に見られる輝線は、爆發が繰返えされるに従つて、吐き出された氣體が大氣の上層に残留して、丁度太陽の彩層のような状態になつてゐるのではないかと想える人もいる。

天文月報10月號正誤表

正
153 総18 その差は0.5秒
" 総16 約15秒 約1.5秒

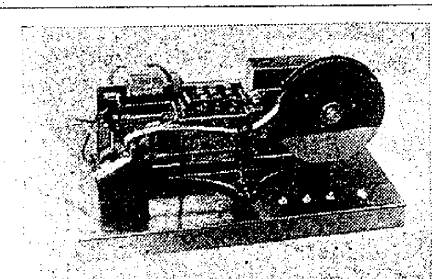
理博 荒木俊馬著 A5判 250頁 団版百冊

¥320
30

吾輩は水である

自然科學を題材とした小説である。元素と化學反応の巻、原子構造の巻、理化學講義室の巻、雲と雷電と虹の巻、アルプスの巻、氷河の巻、植物體内の巻、葡萄酒の巻から成り、合成された水の一分子の一生を物語風に書いたものである。例えば蒸發した水の一滴が雲となつて雷電や虹の物理學を語るかと思えば、アルプス山嶺に落下して氷河となり、雪の結晶や氷河の流出が描かれる。その水滴は南佛に下つて葡萄園にそがれ、植物體内に吸收される間に植物構造學や細胞の話に移つてくる。更に葡萄酒の醸造の巻にいたつて生物語からイースト菌の戀という生化學の機密が語られる。あくまで科學的正確を期しつつも著者の筆は縱横に躍る。先ず同學の士の一讀を待つ所以である。

荒木俊馬著 天文年代學講話 第280
東京銀座西八ノ八 恒星社版 上20
振替東京59600



ケンブリッヂ
クロノグラフ

三本ベン	四萬圓
三個	六萬五千圓
スケール・タミナル・ スキッヂと共にテープ ル上にセットしたもの	價格
株式會社 新陽 境武藏郡東京都 電話 一舍	新陽 境武藏郡東京都 電話 一舍

會員諸氏の太陽黒點観測報告（1951年6月-8月）

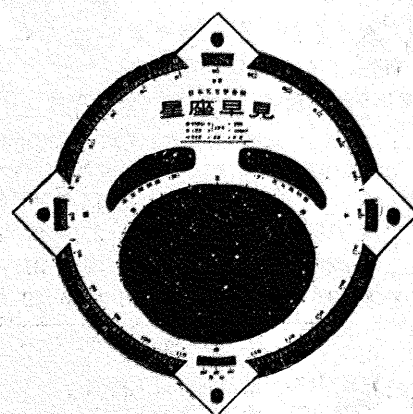
観測者	器械	観測日数	k	観測者	器械	観測日数	k
草地重次	mm 直	66	0.7	河原郁夫	40投直	56	2.3
堂本義雄(1)	150 "	69	1.8	甲府一高(6)	160投	7	2.3
中村秀司	50 "	5	1.8	諫訪清陵(7)	75 "	77	2.1
土屋 淳	42	12	1.3	伊藤恒好	50直	47	1.8
品田榮雄	42直	62	1.8	信州大學		48	2.0
野邊地高校(2)	投直	5	3.1	杉本 安	50投直	17	2.9
佐藤精一	100直	60	1.6	奥野賢雄	30 "	16	3.0
坂内 寛	58 "	23	1.5	野田 博	40直	70	2.1
千葉高校	80投	19	2.0	福野中學(8)	58 "	60	1.9
武藏高校(3)	80 "	34	1.3	西村史朗	40投直	82	1.3
長谷川川敏	110 "	27	2.1	井上和信	68 "	56	1.7
渡邊好章							
近藤倡弘	75直	62	1.3	大阪明星學園	150直	39	1.9
石澤和彦	42投直	36	1.5	平井壽一	100投	60	2.0
屋田 博	30直	35	2.2	廣瀬茂昭	30直	45	1.9
立川高校(4)	100投	50	1.2	桑野善之	54投直	30	1.4
秦野高校(5)	100直	15	1.1	佐治達也	40直	37	1.3
産形長司		36	2.0				

(1) 旭川天文臺 (2) 關野, 増田, 中村 (3) 吉川省吾,
眞崎隆治, 岡田靖夫, 荒井他嘉司, 小森庸光, 清關運美,
(4) 寺沼, 戸田, 中原, 馬場, 戸脇, 河西, 田中, 薄井,
平尾, 保坂, (5) 萩原和男, 原島秀壽, 栗田佳史, (6)
遠藤長次郎, 今福達夫 (7) 兩角庄二郎, 藤森末彥, 河西
彌一, 加藤正 (8) 野澤毅

◎黒點観測報告は毎月10日までにお送り下さい。

1951	會員ウオルフ黒點數日別平均値			東京天文臺日別ウオルフ黒點數			
	月	VI	VII	VIII	VI	VII	VIII
1	61	22	83	—	39	71	
2	71	26	76	52	25	96	
3	60	41	96	57	—	91	
4	35	66	115	40	69	111	
5	62	62	104	48	—	84	
6	109	73	113	100	106	132	
7	158	110	134	—	128	150	
8	195	156	172	—	—	230	
9	163	150	196	—	139	208	
10	186	150	192	175	131	290	
11	188	157	179	239	170	245	
12	211	155	179	165	—	197	
13	221	126	144	220	166	150	
14	185	85	114	204	—	120	
15	157	119	123	—	—	104	
16	166	84	96	—	118	80	
17	194	66	83	185	—	112	
18	197	80	97	182	84	115	
19	210	71	87	186	65	86	
20	173	65	81	183	—	85	
21	155	31	70	184	50	86	
22	186	34	47	194	—	—	
23	184	61	56	157	99	—	
24	131	129	42	110	117	41	
25	*	83	110	24	—	80	37
26	*	98	121	11	85	70	30
27	*	86	115	9	75	94	23
28	*	86	135	2	—	89	0
29	*	41	114	13	56	98	25
30	*	32	74	9	26	58	24
31	*	99	45	*	109	—	
平均	136.1	93.1	89.7	132.9	95.6	108.0	

日本天文學會編 星座早見 改訂版



明治以来長い間廣く愛用されて長い歴史を持つ
ていた本會の星座早見はしばらく絶版となつて
いましたが、今度改訂版として再び發行され
ることになりました。改訂を加えた主な點は、

1. 1950 年分點を採用したこと
2. 地方恒星時を読みとれるようにしたこと
3. 緯度による修正ができるようにしたこと
4. 天文薄明の時刻を読みとれるようにしたので天
體觀測の始められる時刻のわかること

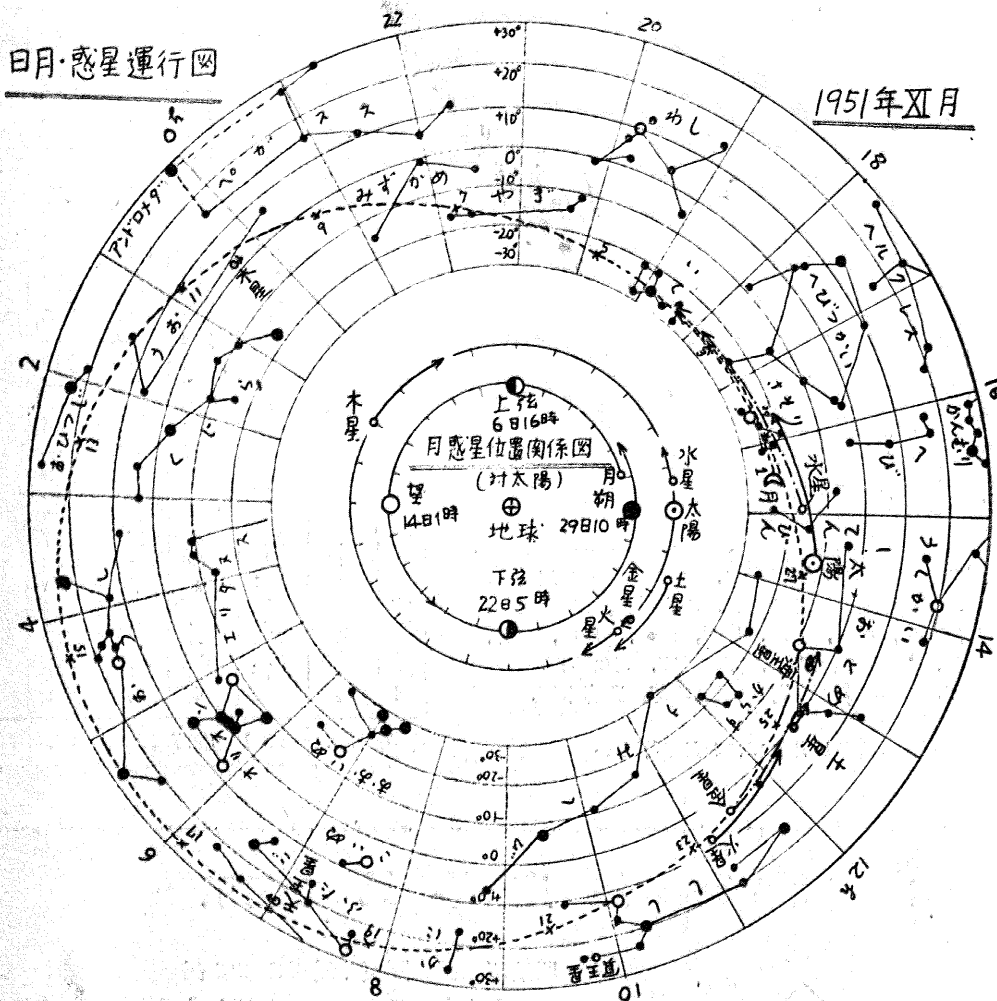
學校教育用に、また研究用に御利用下さい。

定 價 180 圓

發 行 所 東京都千代田區神田神保町1の1

三 省 堂

☆11月の天象☆



レグルスの掩蔽

11月22日拂曉レグルスが22夜の月にかくれる
アルゴル種變光星 *印は第2極小

星名	變光範囲	周期	極小	D
WW Aur	5.6~6.2	2 12.6	2.21, 23	6.4
RZ Cas	6.3~7.8	1 4.7	4 23, 28	21 4.8
YZ Cas	5.7~6.1	4 11.2	9 23, 27	20 7.8
U Cep	6.9~9.2	2 11.8	25 23, 30	22 9.1
Y Cyg	7.0~7.6	2 23.9	2 18, 29	17 7
RX Her	7.2~7.9	1 18.7	2 20, 27	18 4.6
β Per	2.2~3.5	2 20.8	7 1, 9 22	9.8
U Sge	6.5~9.4	3 9.1	15 19, 25	22 12.5
V505 Sgr	6.4~7.5	1 4.4	1 17, 8 19	5.8
Z Vul	7.0~8.6	2 10.9	4 23, 9 21	5.5

日出日入及南中(東京)中央標準時

月	出	入	方位角	南中	
				時分	高度
XI	1	6 2	16 47	-16.9	11 24.7 40°14'
	11	6 11	16 38	-20.6	11 25.0 37 12
	21	6 21	16 32	-23.8	11 26.7 34 40
	30	6 30	16 28	-26.1	11 29.4 32 53

惑星現象

14日 18時 金星西方最大離隔
28日 20時 水星東方最大離隔

主な流星群

輻射點 性狀
XI月14~19日しし座流星群 ($\alpha=150^\circ$, $\delta=+22^\circ$)速, 痢
17~23 アンドロメダ座流星群 (25° , $+43^\circ$)緩, 尾
20 オリオン座流星群 (98° , $+8^\circ$)